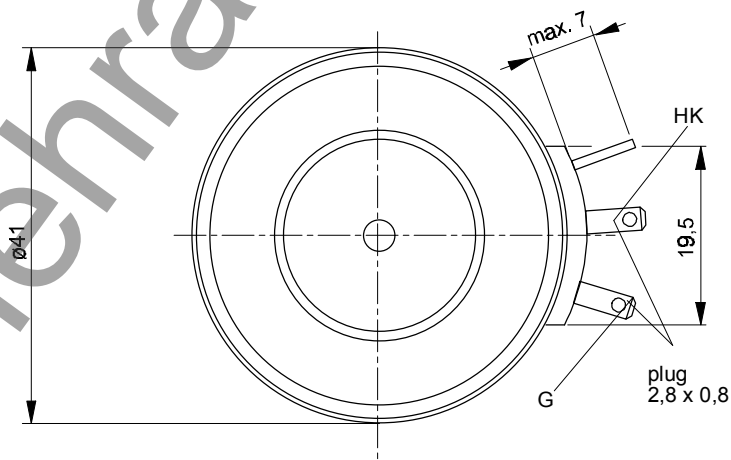
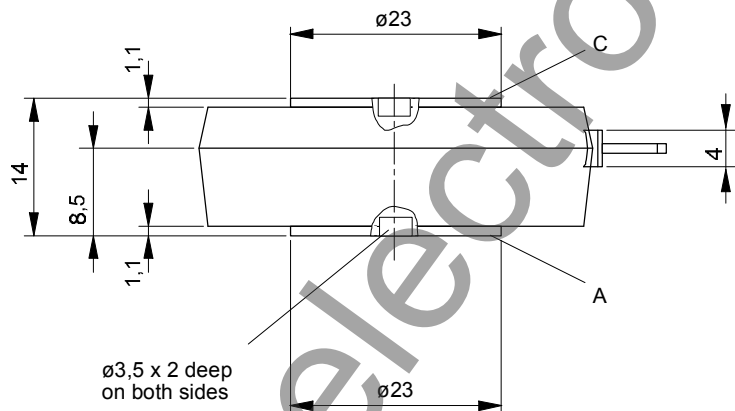


European Power-  
Semiconductor and  
Electronics Company

## Marketing Information T 298 N



# T 298 N

## Elektrische Eigenschaften

### Höchstzulässige Werte

Periodische Vorwärts- und Rückwärts-Spitzenperrspannung

Vorwärts-Stoßspitzenperrspannung

Rückwärts-Stoßspitzenperrspannung

Durchlaßstrom-Grenzeffektivwert

Dauergrenzstrom

Stoßstrom-Grenzwert

Grenzlastintegral

Kritische Stromsteilheit

Kritische Spannungssteilheit

### Electrical properties

#### Maximum rated values

repetitive peak forward off-state and reverse voltages

$$t_{vj} = -40^\circ\text{C} \dots t_{vj \max}$$

$V_{DRM}, V_{RRM}$  600 800 1000 1200  
1400 1600\*

V

non-repetitive peak forward off-state voltage

$$t_{vj} = -40^\circ\text{C} \dots t_{vj \max}$$

$V_{DSM} = V_{DRM}$  600 800 1000 1200  
1400 1600\*

V

non-repetitive peak reverse voltage

$$t_{vj} = +25^\circ\text{C} \dots t_{vj \max}$$

$V_{RSM} = V_{RRM}$  700 900 1100 1300  
1500 1700

V

Durchlaßstrom-Grenzeffektivwert

RMS on-state current

$I_{TRMSM}$  600

A

Dauergrenzstrom

average on-state current

$I_{TAVM}$  298

A

$$t_c = 85^\circ\text{C}$$

$$t_c = 68^\circ\text{C}$$

382

A

Stoßstrom-Grenzwert

surge current

$$t_{vj} = 25^\circ\text{C}, t_p = 10 \text{ ms}$$

$I_{TSW}$  4900

A

$$t_{vj} = t_{vj \max}, t_p = 10 \text{ ms}$$

4250

A

Grenzlastintegral

$I^2 t$ -value

$$t_{vj} = 25^\circ\text{C}, t_p = 10 \text{ ms}$$

120000

$\text{A}^2\text{s}$

$$t_{vj} = t_{vj \max}, t_p = 10 \text{ ms}$$

90600

$\text{A}^2\text{s}$

Kritische Stromsteilheit

critical rate of rise of on-state current

$$V_D \leq 67\%, V_{DRM}, f = 50 \text{ Hz}$$

$(di_T/dt)_{cr}$  150

$\text{A}/\mu\text{s}$

Kritische Spannungssteilheit

critical rate of rise of off-state voltage

$$t_{vj} = t_{vj \max}, V_D = 67\% V_{DRM}$$

$(dv/dt)_{cr}$  1000

$\text{V}/\mu\text{s}$

## Charakteristische Werte

Durchlaßspannung

Characteristic values

$$t_{vj} = t_{vj \max}, i_T = 1100 \text{ A}$$

$V_T$  max. 2

V

Schleusenspannung

threshold voltage

$$t_{vj} = t_{vj \max}$$

$V_{T(TO)}$  0,85

V

Ersatzwiderstand

slope resistance

$$t_{vj} = t_{vj \max}$$

$r_T$  0,9

$\text{m}\Omega$

Zündstrom

gate trigger current

$$t_{vj} = 25^\circ\text{C}, V_D = 6 \text{ V}$$

$I_{GT}$  max. 150

mA

Zündspannung

gate trigger voltage

$$t_{vj} = 25^\circ\text{C}, V_D = 6 \text{ V}$$

$V_{GT}$  max. 2

V

Nicht zündender Steuerstrom

gate non-trigger current

$$t_{vj} = t_{vj \max}, V_D = 6 \text{ V}$$

$I_{GD}$  max. 10

mA

Nicht zündende Steuerspannung

gate non-trigger voltage

$$t_{vj} = t_{vj \max}, V_D = 0,5 V_{DRM}$$

$V_{GD}$  max. 0,25

V

Haltestrom

holding current

$$t_{vj} = 25^\circ\text{C}, V_D = 6 \text{ V}, R_A = 5 \Omega$$

$I_H$  max. 200

mA

Einraststrom

latching current

$$t_{vj} = 25^\circ\text{C}, V_D = 6 \text{ V}, R_{GK} \geq 10 \Omega$$

$I_L$  max. 800

mA

Vorwärts- und Rückwärts-Sperrstrom

forward off-state and reverse currents

$$t_{vj} = t_{vj \max}, V_D = V_{DRM}, V_R = V_{RRM}$$

$i_D, i_R$  max. 30

mA

Zündverzug

gate controlled delay time

$$t_{vj} = 25^\circ\text{C}, i_{GM} = 0,6 \text{ A}, di_G/dt = 0,6 \text{ A}/\mu\text{s}$$

$t_{gd}$  max. 3

$\mu\text{s}$

Freiwerdezeit

circuit commutated turn-off time

$$t_{vj} = 25^\circ\text{C}, i_{GM} = 0,6 \text{ A}, di_G/dt = 0,6 \text{ A}/\mu\text{s}$$

$t_q$  typ. 200

$\mu\text{s}$

## Thermische Eigenschaften

Innerer Wärmewiderstand für beidseitige Kühlung

### Thermal properties

thermal resistance, junction to case for two-sided cooling

$$\Theta = 180^\circ \text{ el, sin}$$

$R_{thJC}$  max. 0,088

$^\circ\text{C/W}$

für anodenseitige Kühlung

for anode-sided cooling

DC

max. 0,082

$^\circ\text{C/W}$

für kathodenseitige Kühlung

for cathode-sided cooling

DC

max. 0,139

$^\circ\text{C/W}$

Übergangs-Wärmewiderstand

thermal resistance, case to heatsink

DC

max. 0,133

$^\circ\text{C/W}$

Höchstzul. Sperrschiichttemperatur

max. junction temperature

$$t_{vj \max}$$

125

$^\circ\text{C}$

Betriebstemperatur

operating temperature

$$t_{c op}$$

-40...+125

$^\circ\text{C}$

Lagertemperatur

storage temperature

$$t_{stg}$$

-40...+140

$^\circ\text{C}$

## Mechanische Eigenschaften

Si-Elemente mit Druckkontakt

### Mechanical properties

Si-pellet with pressure contact

F

3...6

kN

Anpreßkraft

clamping force

G

typ. 70

g

Gewicht

weight

17

mm

Kriechstrecke

creepage distance

DIN 40040

Feuchteklassie

humidity classification

f = 50 Hz

Schwingfestigkeit

vibration resistance

DIN 41814-151A4

50 m/s<sup>2</sup>

Maßbild, anliegend

outlines, attached

\* Für größere Stückzahlen Liefertermin erfragen / Delivery for larger quantities on request

T 298 N

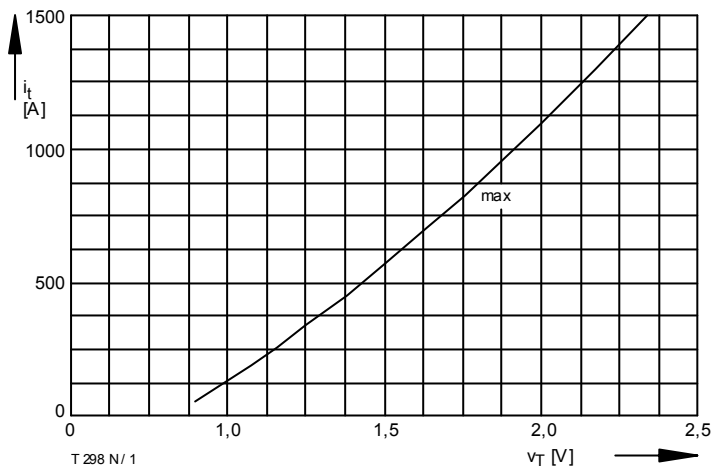


Bild / Fig. 1  
Grenzdurchlaßkennlinie / Limmiting on-state characteristic  
 $i_T = f(v_T)$ ,  $t_{vj} = t_{vj \max}$

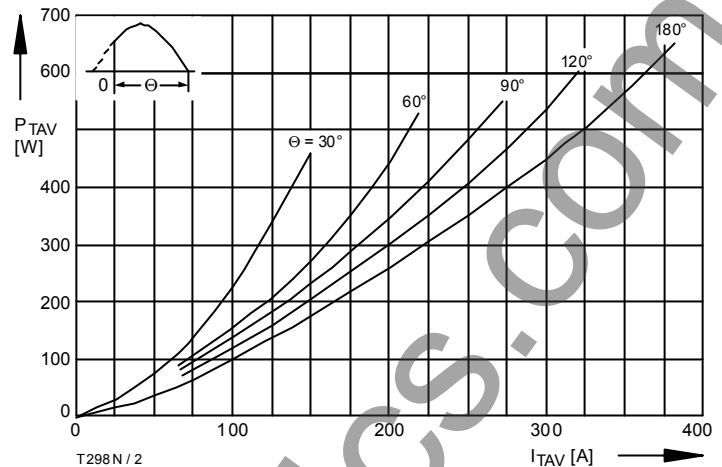


Bild / Fig. 2  
Durchlaßverlustleistung / On-state power loss  $P_{TAV} = f(I_{TAV})$   
Parameter: Stromflußwinkel / Current conduction angle  $\theta$

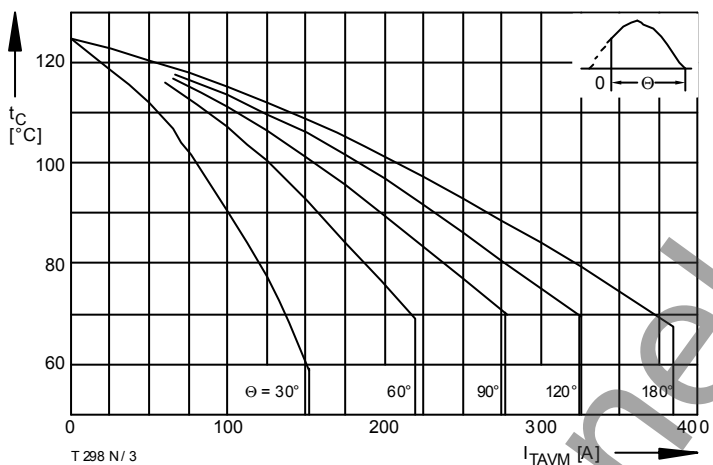


Bild / Fig. 3  
Höchstzulässige Gehäusetemperatur / Max. allowable case temperature  
 $t_C = f(I_{TAVM})$   
Beidseitige Kühlung / Two-sided cooling  
Parameter: Stromflußwinkel / Current conduction angle  $\theta$

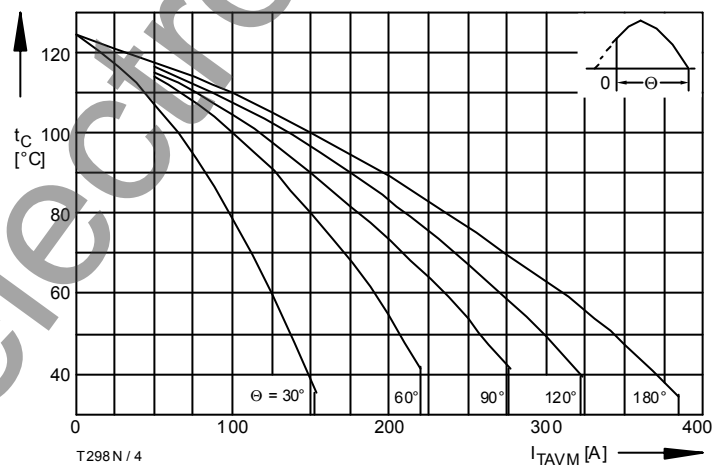


Bild / Fig. 4  
Höchstzulässige Gehäusetemperatur / Max. allowable case temperature  
 $t_C = f(I_{TAVM})$   
Anode seitige Kühlung / Anode-sided cooling  
Parameter: Stromflußwinkel / Current conduction angle  $\theta$

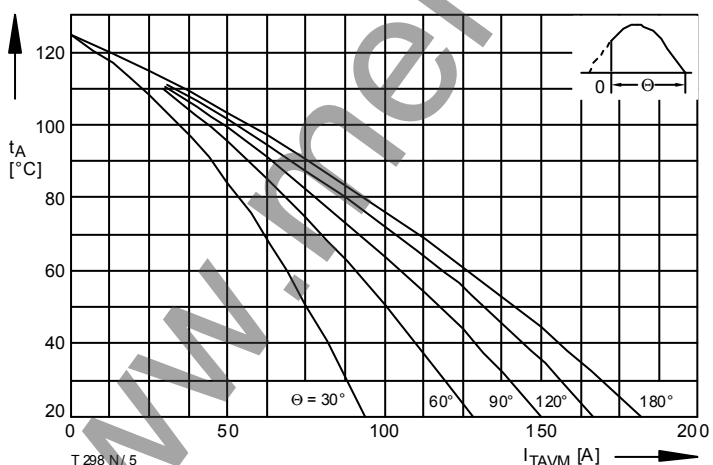


Bild / Fig. 5  
Höchstzulässige Kühlmittelttemperatur / Max. allowable cooling medium  
temperatur  $t_A = f(I_{TAVM})$   
Luftselbstkühlung / Natural air-cooling  
Kühlkörper / Heatsink: K0.36 S  
Parameter: Stromflußwinkel / Current conduction angle  $\theta$

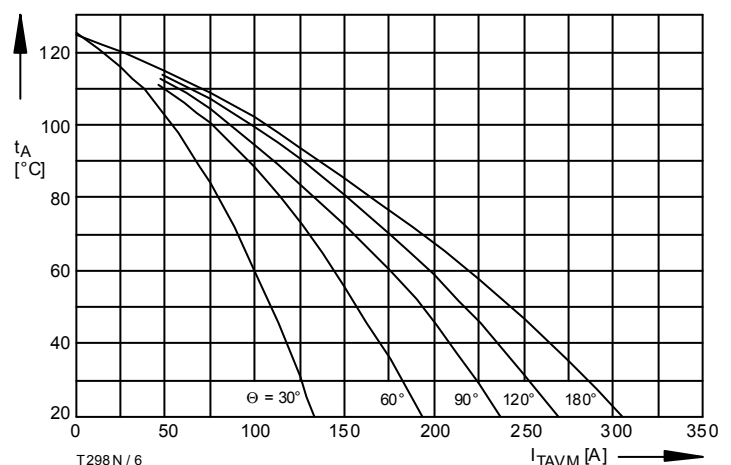


Bild / Fig. 6  
Höchstzulässige Kühlmittelttemperatur / Max. allowable cooling medium  
temperatur  $t_A = f(I_{TAVM})$   
Verstärkte Luftkühlung / Forced air cooling  
Kühlkörper / Heatsink: K0.12 F,  $V_L = 50$  l/s  
Parameter: Stromflußwinkel / Current conduction angle  $\theta$

T 298 N

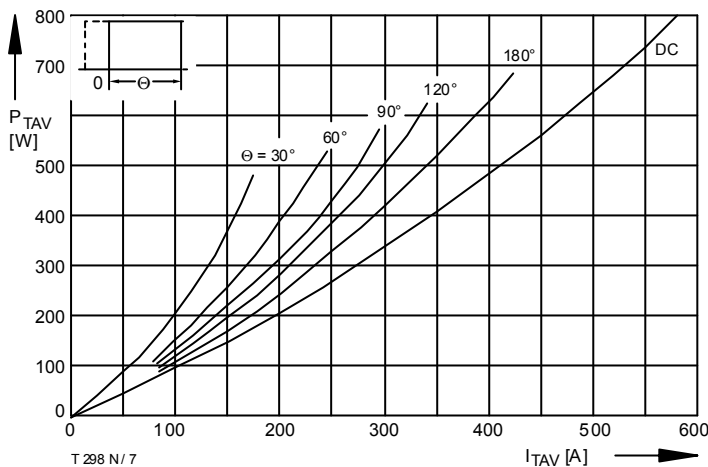


Bild / Fig. 7

Durchlaßverlustleistung / On-state power loss  $P_{TAV} = f(I_{TAV})$   
Parameter: Stromflußwinkel / Current conduction angle  $\theta$

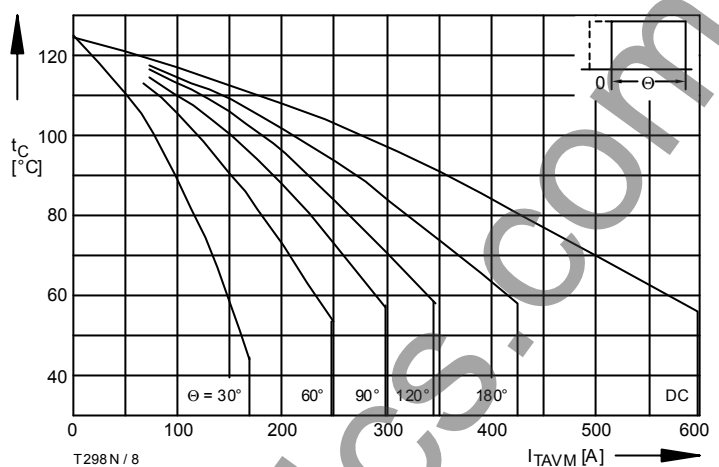


Bild / Fig. 8

Höchstzulässige Gehäusetemperatur / Max. allowable case temperature  $t_C = f(I_{TAV})$   
Beidseitige Kühlung / Two-sided cooling  
Parameter: Stromflußwinkel / Current conduction angle  $\theta$

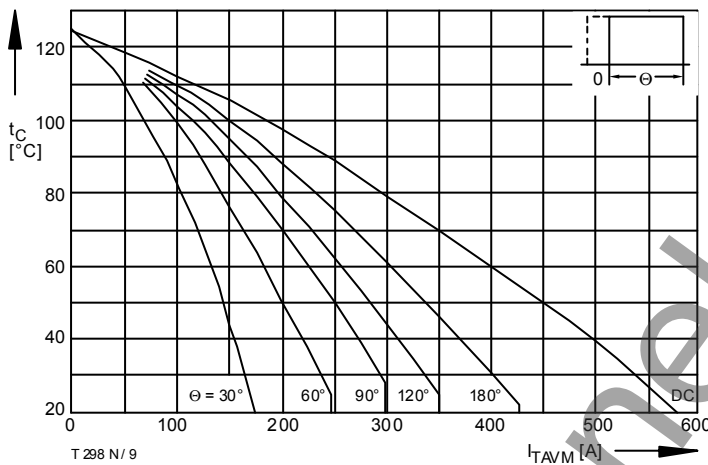


Bild / Fig. 9

Höchstzulässige Gehäusetemperatur / Max. allowable case temperature  $t_C = f(I_{TAV})$   
Anodenseitige Kühlung / Anode-sided cooling  
Parameter: Stromflußwinkel / Current conduction angle  $\theta$

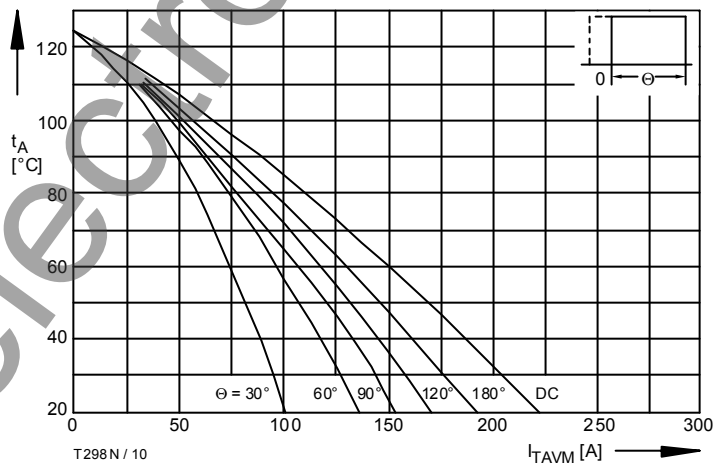


Bild / Fig. 10

Höchstzulässige Kühlmitteltemperatur / Max. allowable cooling medium temperature  $t_A = f(I_{TAV})$   
Luftselbstkühlung / Natural air-cooling  
Kühlkörper / Heatsink: K0.36S  
Parameter: Stromflußwinkel / Current conduction angle  $\theta$

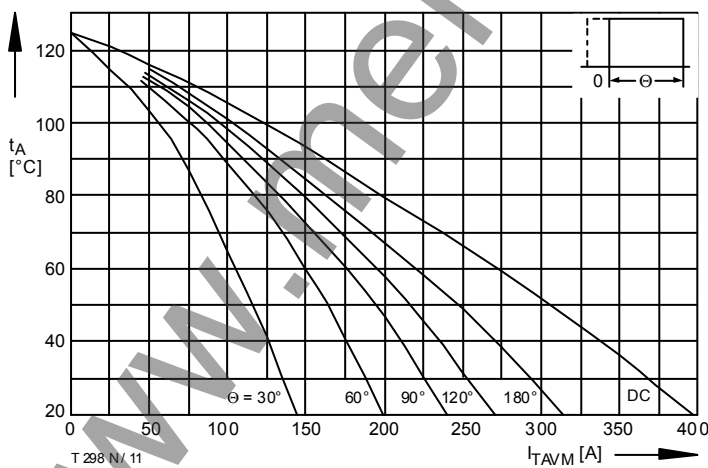


Bild / Fig. 11

Höchstzulässige Kühlmitteltemperatur / Max. allowable cooling medium temperature  $t_A = f(I_{TAV})$   
Verstärkte Luftkühlung / forced air cooling  
Kühlkörper / Heatsink: K0.12F,  $V_L = 50$  l/s  
Parameter: Stromflußwinkel / Current conduction angle  $\theta$

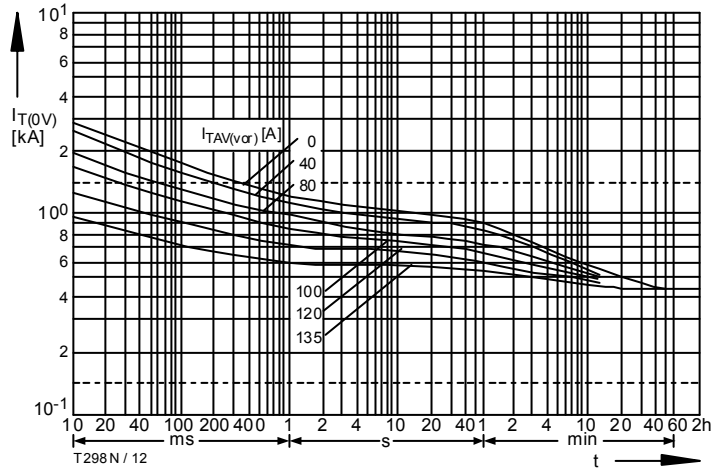


Bild / Fig. 12

Überstrom / Overload on-state current  $I_{T(OV)} = f(t)$   
Luftselbstkühlung / Natural air-cooling  $t_A = 45^\circ\text{C}$   
Kühlkörper / Heatsink: K0.36S  
Parameter: Vorlaststrom / Pre-load current  $I_{TAV(vor)}$

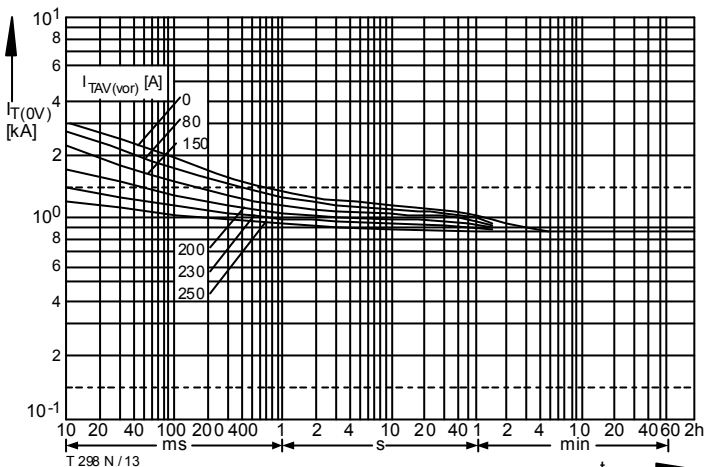


Bild / Fig. 13

Überstrom / Overload on-state current  $I_{T(OV)} = f(t)$   
 Verstärkte Luftkühlung / Forced air-cooling,  $t_A = 35^\circ\text{C}$   
 Kühlkörper / Heatsink: K0.12F,  $V_L = 50 \text{ l/s}$   
 Parameter: Vorlaststrom / Pre-load current  $I_{TAV(vor)}$

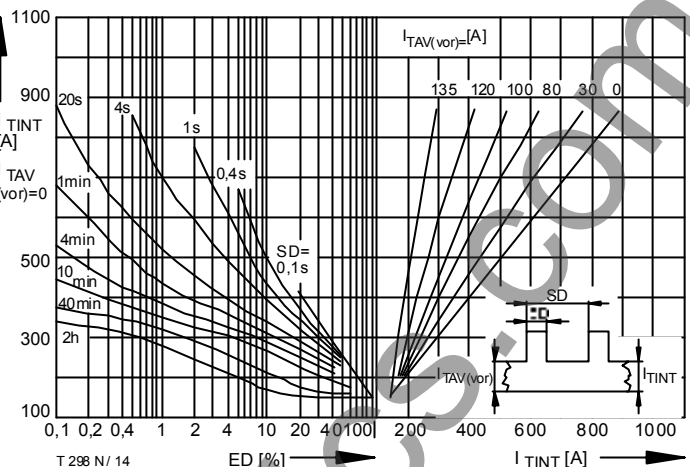


Bild / Fig. 14

Höchstzulässiger Durchlaßstrom bei Aussetzbetrieb / Max. allowable on-state current at intermittent operation  $I_{TINT} = f(ED)$   
 Luftselbstkühlung / Natural air-cooling,  $t_A = 45^\circ\text{C}$   
 Kühlkörper / Heatsink: K0.36S  
 Parameter: Spieldauer / Cycle duration SD  
 Vorlaststrom / Pre-load current  $I_{TAV(vor)}$

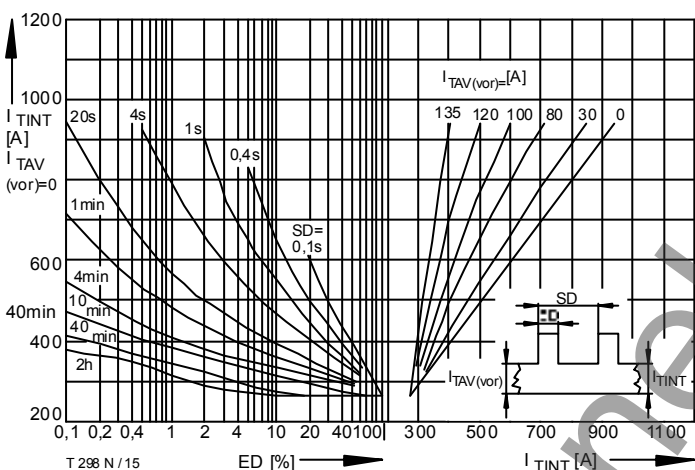


Bild / Fig. 15

Höchstzulässiger Durchlaßstrom bei Aussetzbetrieb / Max. allowable on-state current at intermittent operation  $I_{TINT} = f(ED)$   
 Verstärkte Luftkühlung / Forced air-cooling,  $t_A = 35^\circ\text{C}$   
 Kühlkörper / Heatsink: K0.12F,  $V_L = 50 \text{ l/s}$   
 Parameter: Spieldauer / Cycle duration SD  
 Vorlaststrom / Pre-load current  $I_{TAV(vor)}$

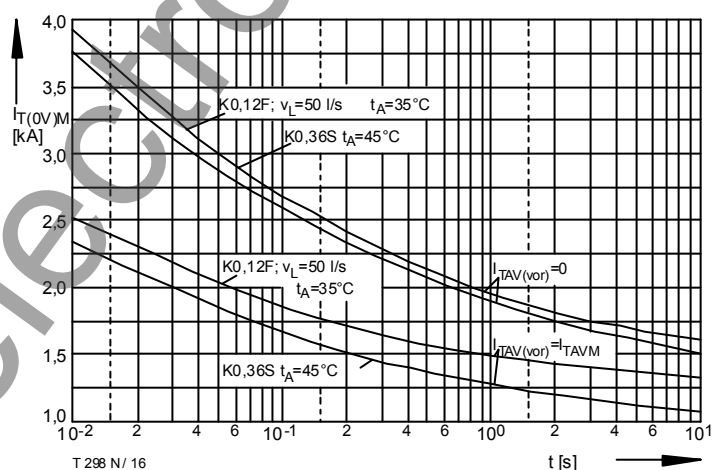


Bild / Fig. 16

Grenzstrom / Max. overload on-state current  $I_{T(OV)M} = f(t)$ ,  $V_{RM} = 0.8 V_{RRM}$   
 Beidseitige Kühlung / Two-sided cooling  
 Kühlkörper / Heatsink: K0.36S, K0.12F  
 Belastung aus / Surge current occurs:  
 a - Leerlauf / No-load conditions  
 b - Betrieb mit Dauergrenzstrom / During operation at max. average on-state current  $I_{TAVM}$

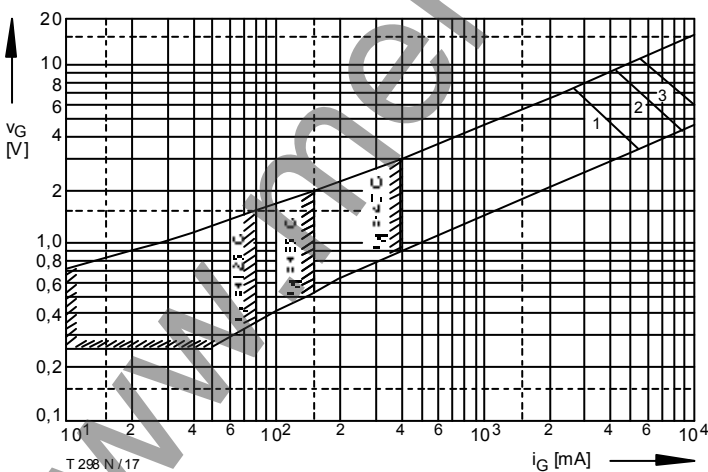


Bild / Fig. 17

Steuercharakteristik mit Zündbereichen / Gate characteristic with triggering areas  $v_G = f(i_G)$ ,  $V_D = 6 \text{ V}$   
 Parameter:  $a = 0.5$ ,  $b = 1$ ,  $c = 10$   
 Steuerimpulsdauer / trigger pulse duration  $t_g$  [ms] 10 1 0.5  
 Höchstzulässige Spitzensteuerverlustleistung /  
 Max. rated peak gate power dissipation [W] 20 40 60

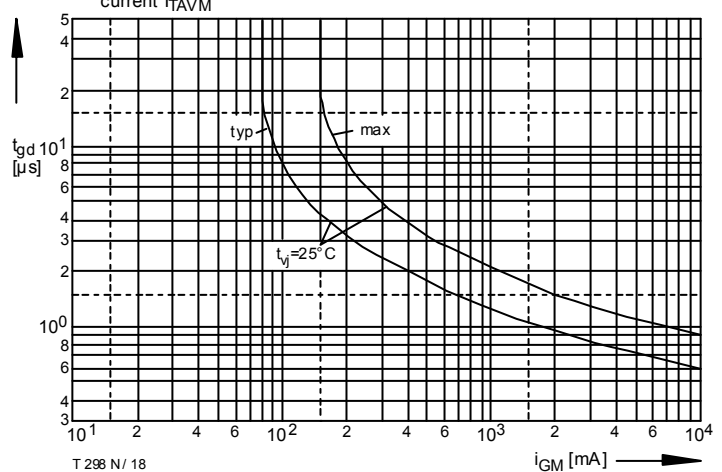


Bild / Fig. 18

Zündverzug / Gate controlled delay time  $t_{gd} = f(i_{GM})$   
 $t_{vj} = 25^\circ\text{C}$ ,  $d_i_G/dt = i_{GM}/1\mu\text{s}$   
 a - Maximaler Verlauf / Limiting characteristic  
 b - Typischer Verlauf / Typical characteristic

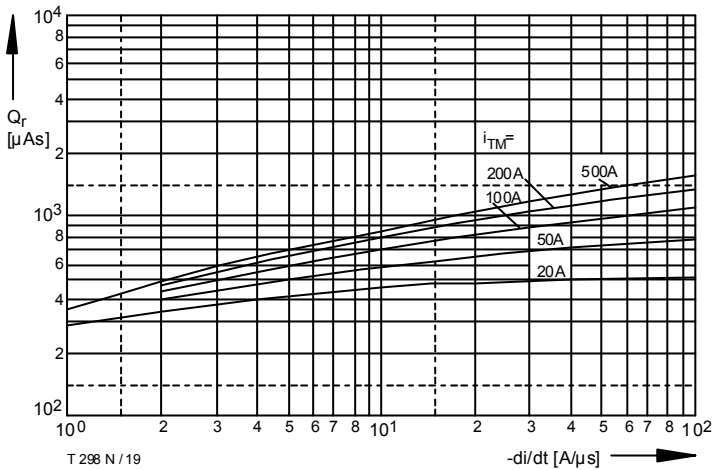


Bild / Fig. 19  
Sperrverzögerungsladung / Recovered charge  $Q_r = f(di/dt)$   
 $t_{vj} = t_{vj \max}, V_R = 0,5 V_{RRM}, V_{RM} = 0,8 V_{RRM}$   
Parameter: Durchlaßstrom / On-state current  $i_{TM}$

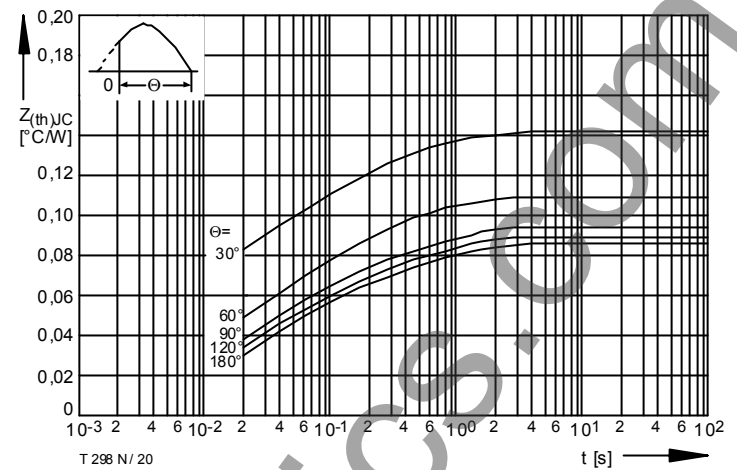


Bild / Fig. 20  
Transienter innerer Wärmewiderstand / Transient thermal impedance  
 $Z_{thJC} = f(t)$   
Beidseitige Kühlung / Two-sided cooling  
Parameter: Stromflußwinkel / current conduction angle  $\theta$

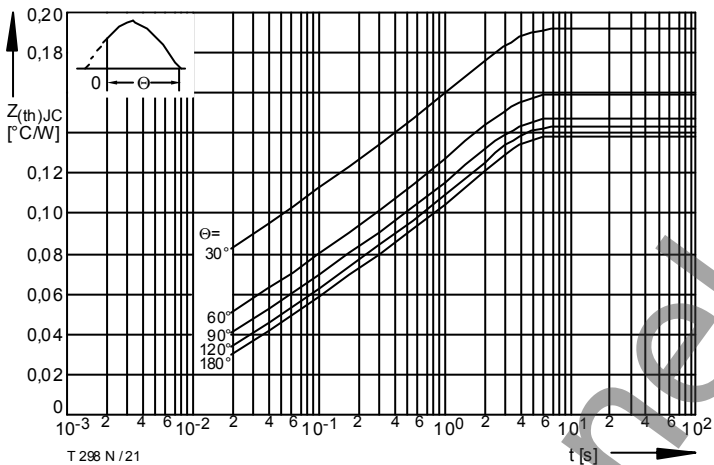


Bild / Fig. 21  
Transienter innerer Wärmewiderstand / Transient thermal impedance  
 $Z_{thJC} = f(t)$   
Anodenseitige Kühlung / Anode-sided cooling  
Parameter: Stromflußwinkel / current conduction angle  $\theta$

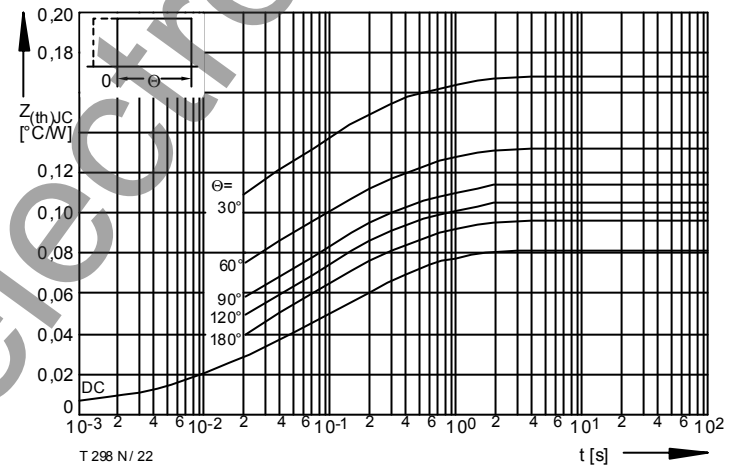


Bild / Fig. 22  
Transienter innerer Wärmewiderstand / Transient thermal impedance  
 $Z_{thJC} = f(t)$   
Beidseitige Kühlung / Two-sided cooling  
Parameter: Stromflußwinkel / current conduction angle  $\theta$

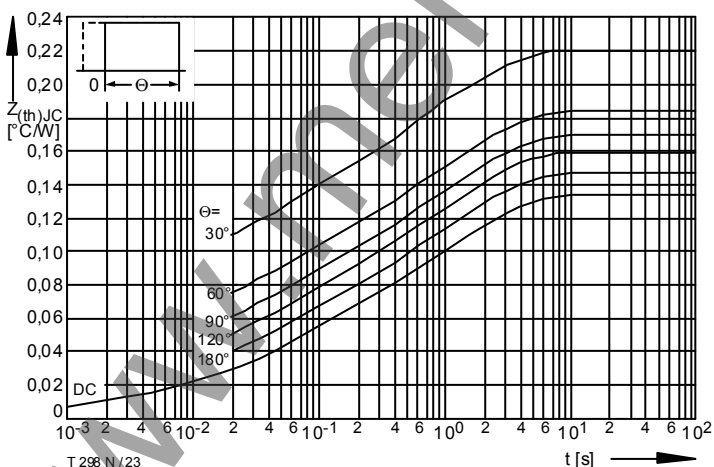


Bild / Fig. 23  
Transienter innerer Wärmewiderstand / Transient thermal impedance  
 $Z_{thJC} = f(t)$   
Anodenseitige Kühlung / Anode-sided cooling  
Parameter: Stromflußwinkel / current conduction angle  $\theta$

Analytische Elemente des transienten Wärmewiderstandes  $Z_{thJC}$  pro Zweig für DC  
Analytical elements of transient thermal impedance  $Z_{thJC}$  per arm for DC

Beidseitig / Two-sided

Pos. n	1	2	3	4	5
$R_{thn}$ [°C/W]	0,0072	0,019	0,034	0,013	0,009
$\tau_n$ [s]	0,00073	0,0144	0,099	0,41	1,51

Anodenseitig / Anode-sided

Pos. n	1	2	3	4	5
$R_{thn}$ [°C/W]	0,0072	0,019	0,034	0,013	0,06
$\tau_n$ [s]	0,00073	0,0144	0,099	0,41	1,51

Kathodenseitig / Cathode-sided

Pos. n	1	2	3	4	5
$R_{thn}$ [°C/W]	0,0072	0,019	0,034	0,013	0,14
$\tau_n$ [s]	0,00073	0,0144	0,099	0,41	1,51

Analytische Funktion / Analytical function:

$$Z_{thJC} = \sum_{n=1}^{n_{\max}} R_{thn} \left(1 - e^{-\frac{t}{\tau_n}}\right)$$

## **Terms & Conditions of Usage**

### **Attention**

The present product data is exclusively subscribed to technically experienced staff. This Data Sheet is describing the specification of the products for which a warranty is granted exclusively pursuant the terms and conditions of the supply agreement. There will be no guarantee of any kind for the product and its specifications. Changes to the Data Sheet are reserved.

You and your technical departments will have to evaluate the suitability of the product for the intended application and the completeness of the product data with respect to such application. Should you require product information in excess of the data given in the Data Sheet, please contact your local Sales Office via "[www.eupec.com](http://www.eupec.com) / sales & contact".

### **Warning**

Due to technical requirements the products may contain dangerous substances. For information on the types in question please contact your local Sales Office via "[www.eupec.com](http://www.eupec.com) / sales & contact".